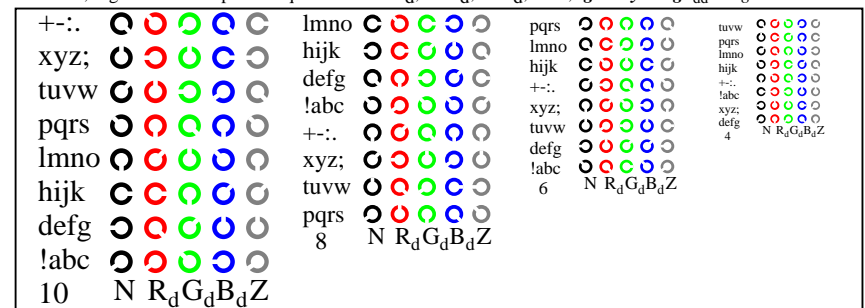
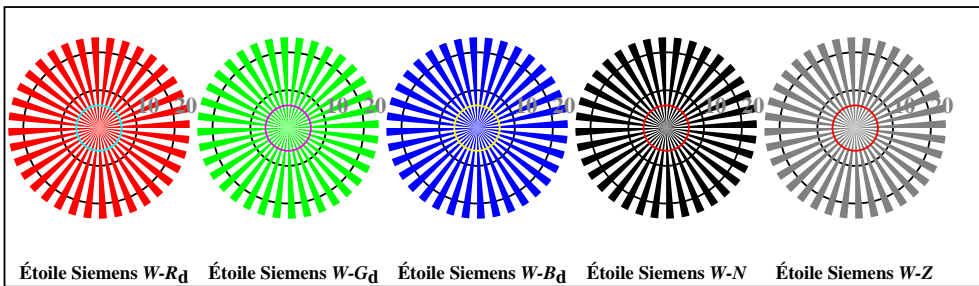


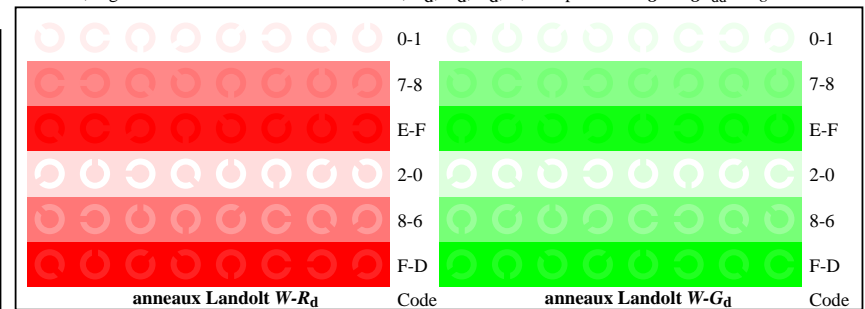
AF191-1, Fig. D4Wdd: 16 paliers équidistants $W-R_d$; $W-G_d$; $W-B_d$; $W-N$; $rgb/cmy0 \rightarrow rgb_{dd}$ setrgbcolor



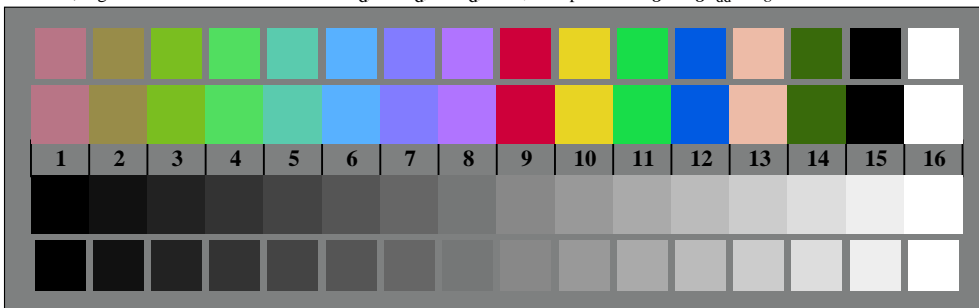
AF191-3, Fig. D5Wdd: code et anneaux Landolt N ; R_d ; G_d ; B_d ; Z ; PS opérateur : $rgb \rightarrow rgb_{dd}$ setrgbcolor



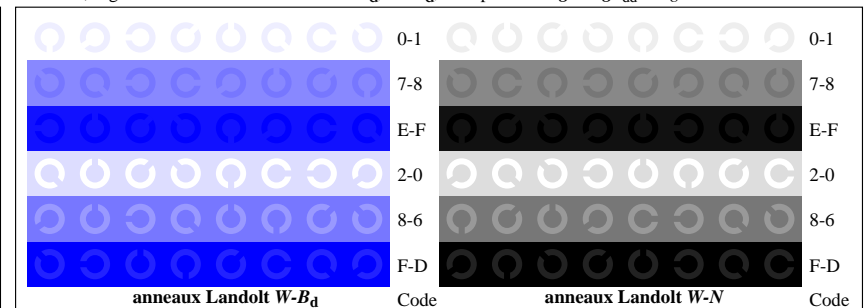
AF190-5, Fig. D2Wdd: étoile de Siemens $W-R_d$; $W-G_d$; $W-B_d$; $W-N$; PS opérateur : $rgb \rightarrow rgb_{dd}$ setrgbcolor



AF191-5, Fig. D6Wdd: anneaux Landolt $W-R_d$; $W-G_d$; PS opérateur : $rgb \rightarrow rgb_{dd}$ setrgbcolor



AF190-7, Fig. D3Wdd: 14 CIE test couleurs et 2 + 16 paliers de gris (sf); $rgb/cmy0 \rightarrow rgb_{dd}$ setrgbcolor



AF191-7, Fig. D7Wdd: anneaux Landolt $W-B_d$; $W-N$; PS opérateur : $rgb \rightarrow rgb_{dd}$ setrgbcolor